

TI Designs: TIDA-050010

LiSOCl₂バッテリを使用するスマート・メータでのNB-IoTモデム用電源のリファレンス・デザイン



概要

このリファレンス・デザインは、LiSOCl₂バッテリ・アプリケーションでのスマート・メータに使用するNB-IoT (Narrow Band-Internet of Things)用の電源ソリューションです。このデザインはスタンバイ電流が小さく、効率の高いソリューションで、バッテリ使用時間を50%以上も延長できます。

リソース

TIDA-050010

TPS61099

LMC555

CSD18533KCS

デザイン・フォルダ

プロダクト・フォルダ

プロダクト・フォルダ

プロダクト・フォルダ

特長

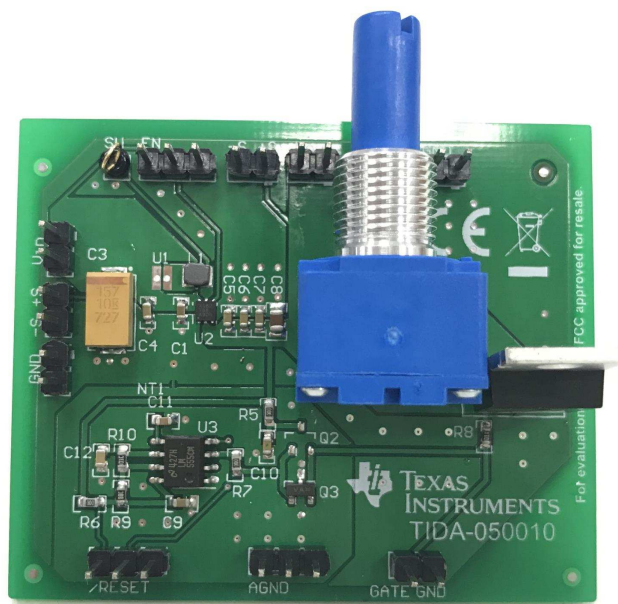
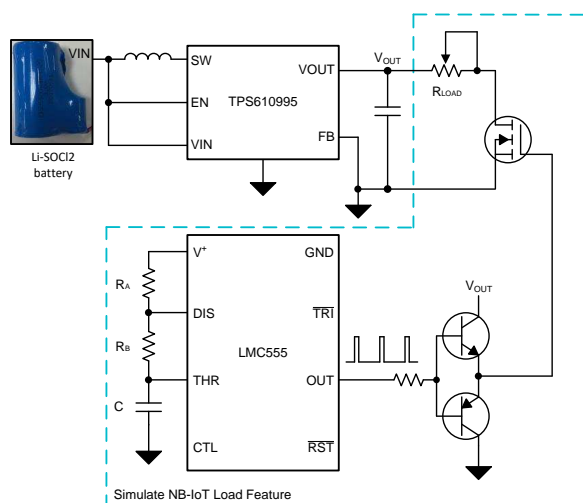
- 動作入力電圧範囲: 2V~4V
- 固定出力電圧: 3.6V
- 出力電流: 最大320mA
- 軽負荷状況で静止電流1μA
- 開放負荷状況、85°Cでのスタンバイ電流約4μA
- 10mA~320mAで最高93%の効率
- 広い入力電圧範囲と高い効率によりバッテリ寿命を延長
- NB-IoTの負荷特性をシミュレートするためテストが簡単
- ソリューション・サイズが小さく、外付け部品数が少ない

アプリケーション

- ガス・メータ
- 熱メータ
- 水量メータ



E2E™ エキスパートに質問



使用許可、知的財産、その他免責事項は、最終ページにあるIMPORTANT NOTICE (重要な注意事項)をご参照くださいますようお願いいたします。

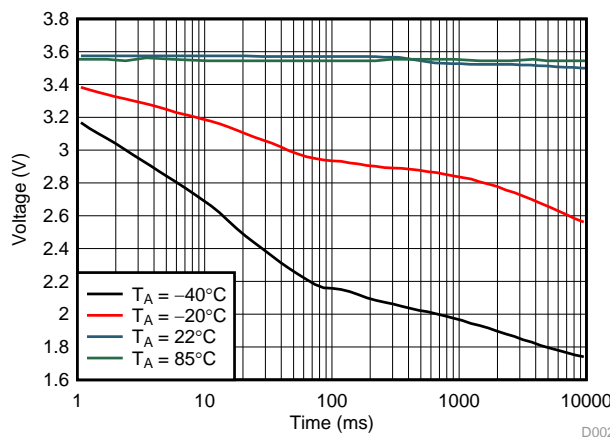
1 System Description

Smart meters consists of electricity meters, gas meters, heat meters and water meters. Some smart meters use NarrowBand-Internet of Things (NB-IoT) to transfer data and information. This technology supports battery life of more than 10 years for a wide range of use cases. The typical range of input voltage of NB-IoT modules (such as the ZTE ZM8300G module) is from 3 V to 4.2 V (with a typical voltage 3.6 V). The typical maximum peak current for these modules is up to 300 m A.

The Li-SOCl₂ battery currently has the highest energy density, the longest storage period, and the least self-discharge rate (less than 1% per year at room temperature). This battery is very useful for smart meters including e-meters, water meters, and trackers, which are long-term products. The typical voltage of a Li-SOCl₂ battery is approximately 3 to 3.6 V, and the maximum continuous output current is approximately 150 mA for an 8.5-Ah battery. Because the continuous output current of a Li-SOCl₂ battery is not enough for NB-IoT, a super capacitor is connected with Li-SOCl₂ battery in parallel to provide a pulse high current.

图 1 shows the voltage curves for a Li-SOCl₂ battery (3.67 V) in parallel with super capacitor (SPC1520) with a discharge current is 350 mA. At low ambient temperature, the output voltage of the Li-SOCl₂ battery is less than 3 V. The NB-IoT module connected directly to a Li-SOCl₂ battery stops working even though a large capacity (about 2/3 capacity at -20°C) is still available, so a boost converter is needed. The TPS610995 can boost the battery voltage to 3.6 V to give a steady power to NB-IoT module.

图 1. Voltage Curves for Li-SOCl₂ Battery (3.67 V) In Parallel With Super Capacitor, 350 mA



(1) See the [EVE SPC \(Super Pulse Capacitor cell\) Model SPC1520.data sheet](#), for more information.

1.1 Key System Specifications

表 1. Key System Specifications

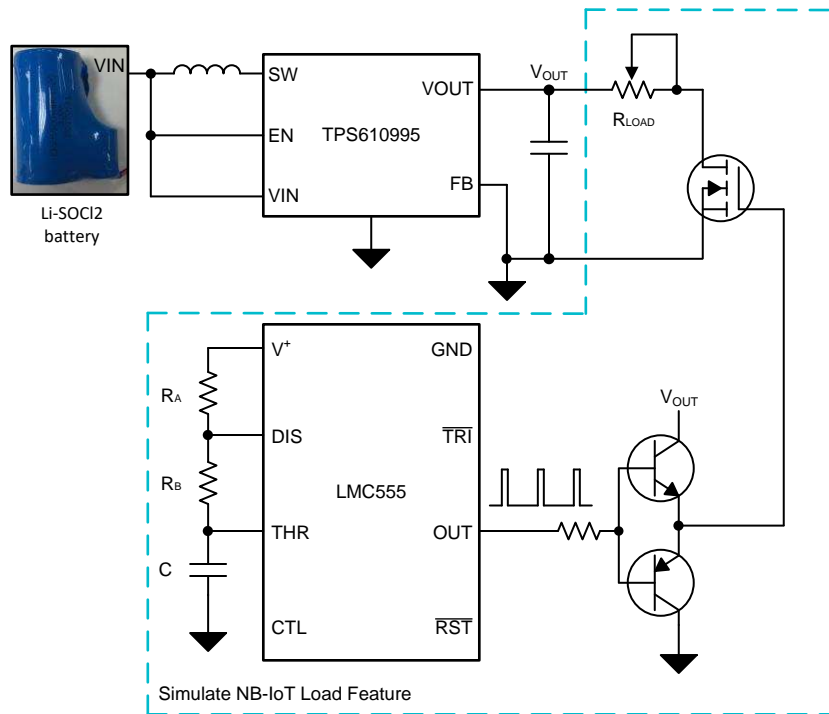
| PARAMETER | SPECIFICATIONS |
|--|----------------------------|
| Input voltage range | 2 V to 4 V |
| Output voltage | 3.6 V |
| Output current | up to 320 mA |
| No load input current (V_{in} = 3 V) | 1 μ A |
| Efficiency (V_{in} = 3 V, I_{out} = 300 mA) | 94 % |
| Monitor load range | 2 Ω to 1 k Ω |

2 System Overview

2.1 Block Diagram

图 2 shows the system block diagram. This system has two parts. One is the TPS610995 boost converter to boost the Li-SOCl₂ battery to 3.6 V, the other part is simulate NB-IoT load feature.

图 2. TIDA-050010 Block Diagram



2.2 Design Considerations

2.2.1 Load Monitor

This reference design uses the LMC555 device to generate a pulse that drives a MOSFET to monitor the NB-IoT load feature. Users can change the resistance by sliding the rheostat (R_{LOAD}) to change the peak output current.

Use 式 1 to calculate the pulse width of the output load current of the LMC555 device.

$$t_{on} = 0.693 \times (R_A + R_B) \times C = 0.693 \times (1\text{ k}\Omega + 23.2\text{ k}\Omega) \times 10\text{ }\mu\text{F} = 167\text{ ms} \quad (1)$$

Use 式 2 to calculate the frequency of the output load current of the LMC555 device.

$$f = \frac{1.44}{(R_A + 2 \times R_B) \times C} = \frac{1.44}{(1\text{ k}\Omega + 2 \times 23.2\text{ k}\Omega) \times 10\text{ }\mu\text{F}} = 3\text{ Hz} \quad (2)$$

2.3 **Highlighted Products**

2.3.1 **TPS610995**

The TPS610995 is part of the TPS61099 family of devices. The TPS610995 device is a fixed output voltage ($V_{out} = 3.6$ V) version. The TPS610995 boost converter uses a hysteretic control topology to obtain maximum efficiency at minimal quiescent current. The TPS610995 device only consumes 1- μ A quiescent current and can achieve up to 75% efficiency at a 10- μ A load. The TPS610995 device can also support up to 320-mA output current from 2 V to 3.6 V conversion and achieve up to 93% at a 320-mA load. The TPS610995 device also offers Down Mode operation. In Down Mode, the output voltage can still be regulated at a target value even when the input voltage is higher than the output voltage. The TPS610995 device supports true shutdown function when it is disabled, which disconnects the load from the input supply to reduce the current consumption. The TPS610995 device is available in a 6-pin, 2-mm × 2-mm, WSON package, the total boost converter size is about 14mm*8mm, including a input tantalum capacitor and a output 0603 ceramic capacitor.

2.3.2 **LMC555**

The LMC555 device is a CMOS version of the industry standard 555 series general-purpose timers. The LMC555 offers the same capability of generating accurate time delays and frequencies as the LM555 but with much lower power dissipation and supply current spikes. When operated as a one-shot, the time delay is precisely controlled by a single external resistor and capacitor. In the astable mode the oscillation frequency and duty cycle are accurately set by two external resistors and one capacitor. The use of TI's LMCMOS process extends both the frequency range and the low supply capability.

2.3.3 **CSD18533KCS**

The CSD18533KCS is a 5.0 m Ω , 60 V TO-220 NexFET™ power MOSFET, which is designed to minimize losses in power conversion applications.

3 **Hardware, Testing Requirements, and Test Results**

3.1 **Required Hardware**

3.1.1 **Hardware**

The reference design used this hardware to test the design:

- DC power source
- Digital oscilloscope
- Multimeters

3.2 **Testing and Results**

3.2.1 **Test Setup**

See [4.1](#) and [4.2](#) for the test schematic and bill of materials.

To test the design:

1. Check that pin 1 and pin 2 of U1 are connected by a line.
2. Connect the EN pin (pin 2) to the input voltage (pin 3) through the EN jumper.
3. Connect the $\overline{\text{RESET}}$ pin (pin 2) to the input voltage (pin 3) through the $\overline{\text{RESET}}$ jumper.

4. Connect the input terminal of the reference board to the DC power source.

3.2.2 Test Results

3.2.2.1 Comparison

図3 and 図4 show a comparison of the test results. Channel 2 is the output of a Li-SOCl2 battery connected to the super capacitor. Channel 1 is the output of the TPS610995 boost converter. Channel 4 is the output current.

A 320-mA, 130-ms pulse current was used to monitor the NB-IoT load feature. 図3 shows the test result using a Li-SOCl2 battery connected directly to a super capacitor. At -40°C ambient temperature, the output of the Li-SOCl2 battery decreases to 2.8 V at a 320-mA pulse current. The NB-IoT module stops in this case. 図4 shows the test result using the TPS610995 boost converter. The output of the TPS610995 boost converter is stable at the pulse output current. The NB-IoT module continues steady operation.

図3. Simulate NB-IoT Working Without TPS610995 at $T_A = -40^{\circ}\text{C}$

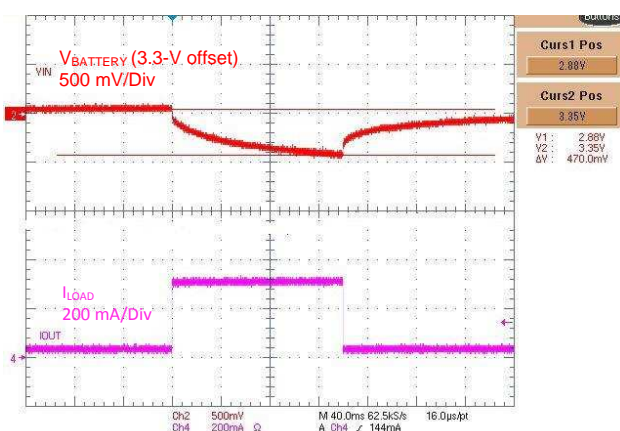
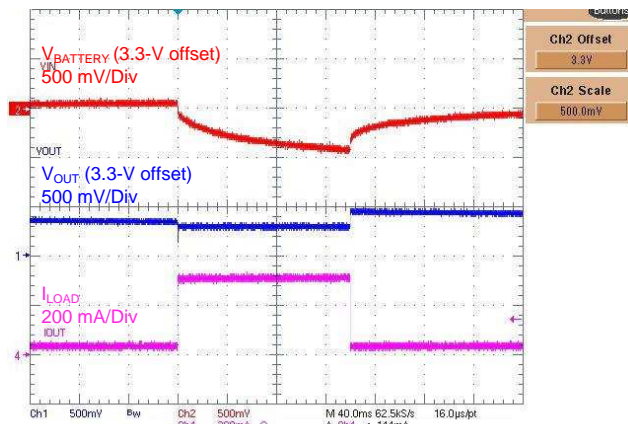


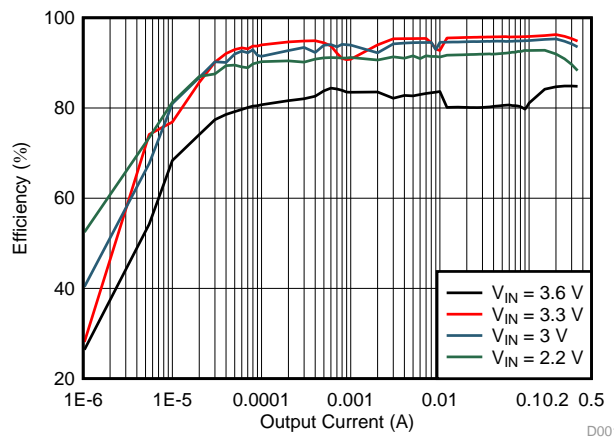
図4. Simulate NB-IoT Working With TPS610995 at $T_A = -40^{\circ}\text{C}$



3.2.2.2 Efficiency Curves

図5 shows the efficiency curves for each input voltage.

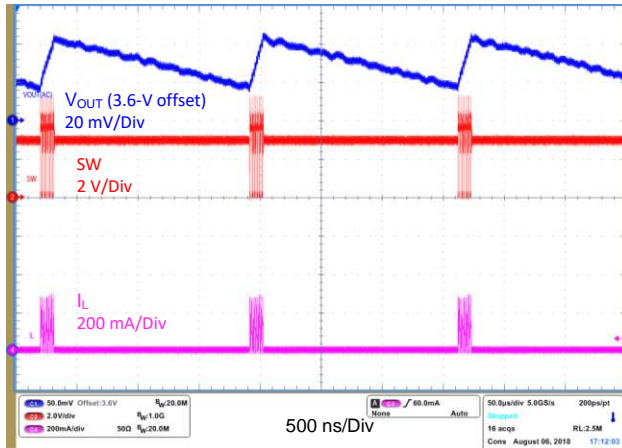
図5. TPS610995 Load Efficiency for Different Input Voltages



3.2.2.3 Output Voltage Ripple

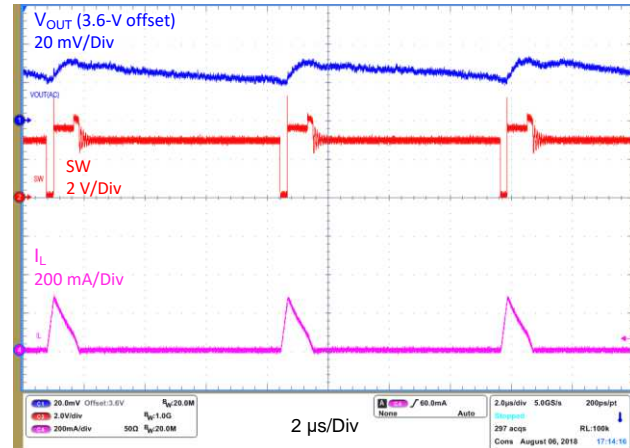
図 6, 図 7, and 図 8 show the waveforms for output voltage ripple. 図 6 shows burst mode operation, 図 7 shows discontinuous current operation and 図 8 shows continuous current operation.

図 6. Output Voltage Ripple



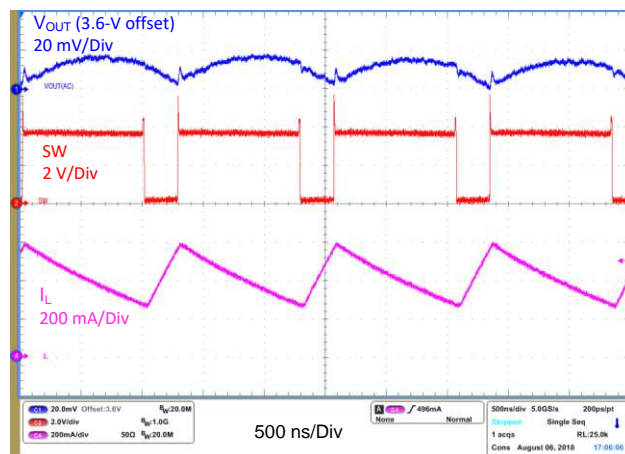
$V_{IN} = 3 \text{ V}$; Open Load

図 7. Output Voltage Ripple



$V_{IN} = 3 \text{ V}$; $I_{OUT} = 10 \text{ mA}$

図 8. Output Voltage Ripple

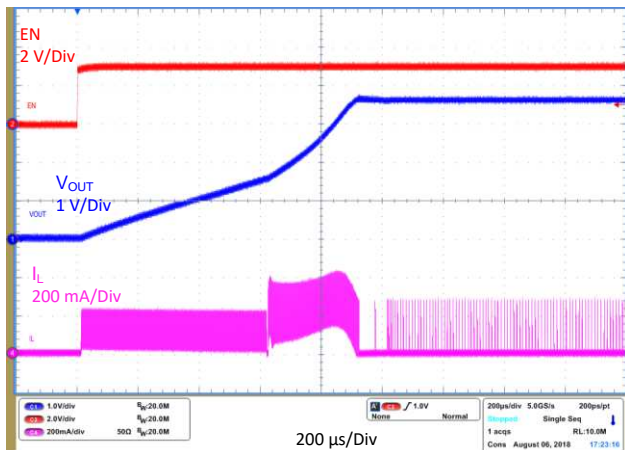


$V_{IN} = 3 \text{ V}$; $I_{OUT} = 320 \text{ mA}$

3.2.2.4 Start Up by EN

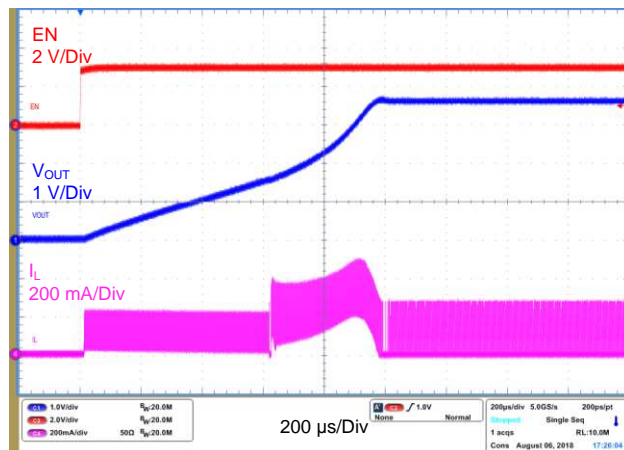
図 9 和 図 10 show the waveforms for start up by EN.

図 9. Startup by EN



$V_{IN} = 3 \text{ V}$; $I_{OUT} = 10 \text{ mA}$

図 10. Startup by EN

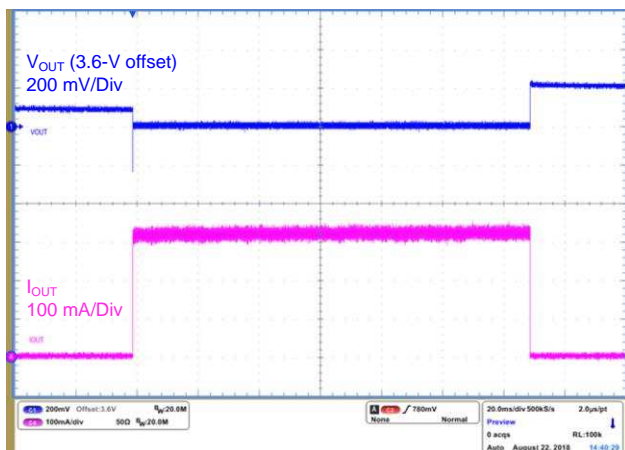


$V_{IN} = 3 \text{ V}$; $I_{OUT} = 50 \text{ mA}$

3.2.2.5 Load Transient

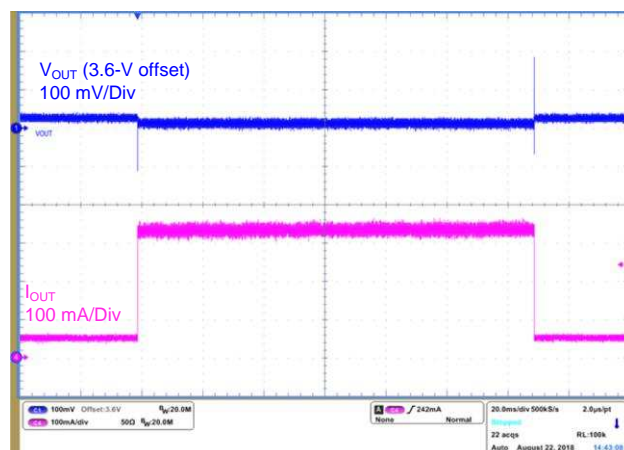
図 11 and 図 12 show the load transient waveforms.

図 11. Load Transient



$V_{IN} = 3 \text{ V}$; I_{OUT} from 0 mA to 320 mA

図 12. Load Transient

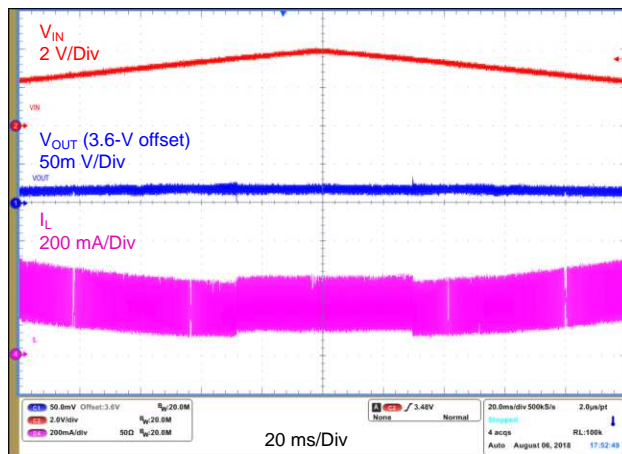


$V_{IN} = 3 \text{ V}$; I_{OUT} from 50 mA to 320 mA

3.2.2.6 Line Regulation

図 13 shows the line regulation waveform.

図 13. Line Regulation



4 Design Files

4.1 Schematics

To download the schematics, see the design files at [TIDA-050010](#).

4.2 Bill of Materials

To download the bill of materials (BOM), see the design files at [TIDA-050010](#).

4.3 Layout Prints

To download the layer plots, see the design files at [TIDA-050010](#).

4.4 Altium Project

To download the Altium Designer® project files, see the design files at [TIDA-050010](#).

4.5 Gerber Files

To download the Gerber files, see the design files at [TIDA-050010](#).

4.6 Assembly Drawings

To download the assembly drawings, see the design files at [TIDA-050010](#).

5 Related Documentation

1. Texas Instruments, [CSD18533KCS 60 V N-Channel NexFET™ Power MOSFET data sheet](#)
2. Texas Instruments, [LMC555 CMOS Timer data sheet](#)
3. Texas Instruments, [TPS61099x Synchronous Boost Converter with Ultra-Low Quiescent Current data sheet](#)
4. Endrich, [EVE SPC \(Super Pulse Capacitor cell\) Model SPC1520.data sheet](#).

5.1 商標

E2E, NexFET are trademarks of Texas Instruments.

Altium Designer is a registered trademark of Altium LLC or its affiliated companies.

すべての商標および登録商標はそれぞれの所有者に帰属します。

重要なお知らせと免責事項

TI は、技術データと信頼性データ(データシートを含みます)、設計リソース(リファレンス・デザインを含みます)、アプリケーションや設計に関する各種アドバイス、Web ツール、安全性情報、その他のリソースを、欠陥が存在する可能性のある「現状のまま」提供しており、商品性および特定目的に対する適合性の默示保証、第三者の知的財産権の非侵害保証を含むいかなる保証も、明示的または默示的にかかわらず拒否します。

これらのリソースは、TI 製品を使用する設計の経験を積んだ開発者への提供を意図したものです。(1) お客様のアプリケーションに適した TI 製品の選定、(2) お客様のアプリケーションの設計、検証、試験、(3) お客様のアプリケーションが適用される各種規格や、その他のあらゆる安全性、セキュリティ、またはその他の要件を満たしていることを確実にする責任を、お客様のみが単独で負うものとします。上記の各種リソースは、予告なく変更される可能性があります。これらのリソースは、リソースで説明されている TI 製品を使用するアプリケーションの開発の目的でのみ、TI はその使用をお客様に許諾します。これらのリソースに関して、他の目的で複製することや掲載することは禁止されています。TI や第三者の知的財産権のライセンスが付与されている訳ではありません。お客様は、これらのリソースを自身で使用した結果発生するあらゆる申し立て、損害、費用、損失、責任について、TI およびその代理人を完全に補償するものとし、TI は一切の責任を拒否します。

TI の製品は、TI の販売条件 (www.tij.co.jp/ja-jp/legal/termsofsale.html)、または ti.com やかかる TI 製品の関連資料などのいずれかを通じて提供する適用可能な条項の下で提供されています。TI がこれらのリソースを提供することは、適用される TI の保証または他の保証の放棄の拡大や変更を意味するものではありません。

Copyright © 2018, Texas Instruments Incorporated
日本語版 日本テキサス・インスツルメンツ株式会社

重要なお知らせと免責事項

TI は、技術データと信頼性データ(データシートを含みます)、設計リソース(リファレンス・デザインを含みます)、アプリケーションや設計に関する各種アドバイス、Web ツール、安全性情報、その他のリソースを、欠陥が存在する可能性のある「現状のまま」提供しており、商品性および特定目的に対する適合性の默示保証、第三者の知的財産権の非侵害保証を含むいかなる保証も、明示的または默示的にかかわらず拒否します。

これらのリソースは、TI 製品を使用する設計の経験を積んだ開発者への提供を意図したものです。(1) お客様のアプリケーションに適した TI 製品の選定、(2) お客様のアプリケーションの設計、検証、試験、(3) お客様のアプリケーションが適用される各種規格や、その他のあらゆる安全性、セキュリティ、またはその他の要件を満たしていることを確実にする責任を、お客様のみが単独で負うものとします。上記の各種リソースは、予告なく変更される可能性があります。これらのリソースは、リソースで説明されている TI 製品を使用するアプリケーションの開発の目的でのみ、TI はその使用をお客様に許諾します。これらのリソースに関して、他の目的で複製することや掲載することは禁止されています。TI や第三者の知的財産権のライセンスが付与されている訳ではありません。お客様は、これらのリソースを自身で使用した結果発生するあらゆる申し立て、損害、費用、損失、責任について、TI およびその代理人を完全に補償するものとし、TI は一切の責任を拒否します。

TI の製品は、TI の販売条件 (www.tij.co.jp/ja-jp/legal/termsofsale.html)、または ti.com やかかる TI 製品の関連資料などのいずれかを通じて提供する適用可能な条項の下で提供されています。TI がこれらのリソースを提供することは、適用される TI の保証または他の保証の放棄の拡大や変更を意味するものではありません。

Copyright © 2018, Texas Instruments Incorporated
日本語版 日本テキサス・インスツルメンツ株式会社